

Starkniederschlagshöhen und -spenden gemäß KOSTRA-DWD-2020

Rasterfeld 146157

(Zeile 146, Spalte 157)

Regenspende und Bemessungsniederschlagswerte in Abhängigkeit von Wiederkehrzeit T und Dauerstufe D

| Dauerstufe D | | Wiederkehrzeit T | | | | | | | | | | | | | | | | | |
|--------------|-----|------------------|------------|------|------------|------|------------|------|------------|-------|------------|-------|------------|-------|------------|-------|------------|-------|------------|
| | | 1 a | | 2 a | | 3 a | | 5 a | | 10 a | | 20 a | | 30 a | | 50 a | | 100 a | |
| min | Std | mm | l / (s ha) | mm | l / (s ha) | mm | l / (s ha) | mm | l / (s ha) | mm | l / (s ha) | mm | l / (s ha) | mm | l / (s ha) | mm | l / (s ha) | mm | l / (s ha) |
| 5 | | 7,1 | 236,7 | 8,8 | 293,3 | 9,9 | 330,0 | 11,3 | 376,7 | 13,4 | 446,7 | 15,5 | 516,7 | 16,9 | 563,3 | 18,7 | 623,3 | 21,3 | 710,0 |
| 10 | | 9,4 | 156,7 | 11,7 | 195,0 | 13,1 | 218,3 | 15,0 | 250,0 | 17,7 | 295,0 | 20,5 | 341,7 | 22,4 | 373,3 | 24,8 | 413,3 | 28,2 | 470,0 |
| 15 | | 10,7 | 118,9 | 13,4 | 148,9 | 15,1 | 167,8 | 17,2 | 191,1 | 20,4 | 226,7 | 23,6 | 262,2 | 25,7 | 285,6 | 28,5 | 316,7 | 32,4 | 360,0 |
| 20 | | 11,8 | 98,3 | 14,7 | 122,5 | 16,5 | 137,5 | 18,9 | 157,5 | 22,3 | 185,8 | 25,8 | 215,0 | 28,1 | 234,2 | 31,2 | 260,0 | 35,5 | 295,8 |
| 30 | | 13,2 | 73,3 | 16,5 | 91,7 | 18,6 | 103,3 | 21,2 | 117,8 | 25,1 | 139,4 | 29,1 | 161,7 | 31,7 | 176,1 | 35,1 | 195,0 | 40,0 | 222,2 |
| 45 | | 14,8 | 54,8 | 18,5 | 68,5 | 20,7 | 76,7 | 23,7 | 87,8 | 28,0 | 103,7 | 32,5 | 120,4 | 35,4 | 131,1 | 39,2 | 145,2 | 44,6 | 165,2 |
| 60 | 1 | 16,0 | 44,4 | 19,9 | 55,3 | 22,4 | 62,2 | 25,6 | 71,1 | 30,2 | 83,9 | 35,0 | 97,2 | 38,1 | 105,8 | 42,2 | 117,2 | 48,1 | 133,6 |
| 90 | 1,5 | 17,7 | 32,8 | 22,1 | 40,9 | 24,8 | 45,9 | 28,4 | 52,6 | 33,5 | 62,0 | 38,8 | 71,9 | 42,3 | 78,3 | 46,8 | 86,7 | 53,3 | 98,7 |
| 120 | 2 | 19,0 | 26,4 | 23,7 | 32,9 | 26,6 | 36,9 | 30,5 | 42,4 | 36,0 | 50,0 | 41,7 | 57,9 | 45,4 | 63,1 | 50,3 | 69,9 | 57,3 | 79,6 |
| 180 | 3 | 21,0 | 19,4 | 26,2 | 24,3 | 29,4 | 27,2 | 33,6 | 31,1 | 39,7 | 36,8 | 46,0 | 42,6 | 50,1 | 46,4 | 55,5 | 51,4 | 63,2 | 58,5 |
| 240 | 4 | 22,5 | 15,6 | 28,0 | 19,4 | 31,5 | 21,9 | 36,0 | 25,0 | 42,6 | 29,6 | 49,3 | 34,2 | 53,7 | 37,3 | 59,5 | 41,3 | 67,8 | 47,1 |
| 360 | 6 | 24,7 | 11,4 | 30,9 | 14,3 | 34,7 | 16,1 | 39,7 | 18,4 | 46,9 | 21,7 | 54,3 | 25,1 | 59,2 | 27,4 | 65,5 | 30,3 | 74,6 | 34,5 |
| 540 | 9 | 27,2 | 8,4 | 34,0 | 10,5 | 38,2 | 11,8 | 43,7 | 13,5 | 51,6 | 15,9 | 59,8 | 18,5 | 65,1 | 20,1 | 72,1 | 22,3 | 82,2 | 25,4 |
| 720 | 12 | 29,1 | 6,7 | 36,4 | 8,4 | 40,9 | 9,5 | 46,7 | 10,8 | 55,2 | 12,8 | 64,0 | 14,8 | 69,7 | 16,1 | 77,2 | 17,9 | 87,9 | 20,3 |
| 1080 | 18 | 32,1 | 5,0 | 40,0 | 6,2 | 44,9 | 6,9 | 51,4 | 7,9 | 60,7 | 9,4 | 70,3 | 10,8 | 76,6 | 11,8 | 84,9 | 13,1 | 96,7 | 14,9 |
| 1440 | 24 | 34,3 | 4,0 | 42,8 | 5,0 | 48,1 | 5,6 | 55,0 | 6,4 | 65,0 | 7,5 | 75,2 | 8,7 | 82,0 | 9,5 | 90,8 | 10,5 | 103,4 | 12,0 |
| 2880 | 48 | 40,3 | 2,3 | 50,3 | 2,9 | 56,5 | 3,3 | 64,7 | 3,7 | 76,4 | 4,4 | 88,5 | 5,1 | 96,4 | 5,6 | 106,8 | 6,2 | 121,7 | 7,0 |
| 4320 | 72 | 44,3 | 1,7 | 55,3 | 2,1 | 62,1 | 2,4 | 71,1 | 2,7 | 84,0 | 3,2 | 97,3 | 3,8 | 106,0 | 4,1 | 117,4 | 4,5 | 133,7 | 5,2 |
| 5760 | 96 | 47,4 | 1,4 | 59,2 | 1,7 | 66,5 | 1,9 | 76,0 | 2,2 | 89,8 | 2,6 | 104,0 | 3,0 | 113,3 | 3,3 | 125,5 | 3,6 | 143,0 | 4,1 |
| 7200 | 120 | 49,9 | 1,2 | 62,3 | 1,4 | 70,0 | 1,6 | 80,1 | 1,9 | 94,6 | 2,2 | 109,6 | 2,5 | 119,4 | 2,8 | 132,3 | 3,1 | 150,7 | 3,5 |
| 8640 | 144 | 52,1 | 1,0 | 65,0 | 1,3 | 73,1 | 1,4 | 83,6 | 1,6 | 98,7 | 1,9 | 114,4 | 2,2 | 124,6 | 2,4 | 138,0 | 2,7 | 157,2 | 3,0 |
| 10080 | 168 | 54,0 | 0,9 | 67,4 | 1,1 | 75,7 | 1,3 | 86,6 | 1,4 | 102,3 | 1,7 | 118,5 | 2,0 | 129,2 | 2,1 | 143,0 | 2,4 | 163,0 | 2,7 |

Starkniederschlagshöhen und -spenden gemäß KOSTRA-DWD-2020

Rasterfeld 146157

(Zeile 146, Spalte 157)

Örtliche Unsicherheiten in Abhängigkeit von Wiederkehrzeit T und Dauerstufe D

| Dauerstufe D | | Wiederkehrzeit T | | | | | | | | |
|--------------|-----|------------------|-----|-----|-----|------|------|------|------|-------|
| | | 1 a | 2 a | 3 a | 5 a | 10 a | 20 a | 30 a | 50 a | 100 a |
| min | Std | ± % | ± % | ± % | ± % | ± % | ± % | ± % | ± % | ± % |
| 5 | | 12 | 12 | 13 | 13 | 14 | 14 | 15 | 15 | 16 |
| 10 | | 14 | 15 | 16 | 17 | 18 | 19 | 19 | 20 | 20 |
| 15 | | 16 | 18 | 19 | 20 | 21 | 22 | 22 | 22 | 23 |
| 20 | | 17 | 19 | 20 | 21 | 22 | 23 | 23 | 24 | 25 |
| 30 | | 18 | 20 | 21 | 22 | 24 | 25 | 25 | 25 | 26 |
| 45 | | 19 | 21 | 22 | 23 | 24 | 25 | 26 | 26 | 27 |
| 60 | 1 | 19 | 21 | 22 | 23 | 24 | 25 | 26 | 26 | 27 |
| 90 | 1,5 | 18 | 21 | 22 | 23 | 24 | 25 | 25 | 26 | 26 |
| 120 | 2 | 18 | 20 | 21 | 22 | 24 | 24 | 25 | 25 | 26 |
| 180 | 3 | 17 | 19 | 20 | 21 | 23 | 24 | 24 | 24 | 25 |
| 240 | 4 | 17 | 19 | 20 | 21 | 22 | 23 | 23 | 24 | 24 |
| 360 | 6 | 16 | 18 | 19 | 20 | 21 | 22 | 22 | 23 | 23 |
| 540 | 9 | 15 | 17 | 18 | 19 | 20 | 21 | 21 | 22 | 22 |
| 720 | 12 | 15 | 16 | 17 | 18 | 19 | 20 | 20 | 21 | 21 |
| 1080 | 18 | 14 | 16 | 17 | 18 | 18 | 19 | 20 | 20 | 21 |
| 1440 | 24 | 15 | 16 | 16 | 17 | 18 | 19 | 19 | 19 | 20 |
| 2880 | 48 | 15 | 16 | 16 | 17 | 18 | 18 | 18 | 19 | 19 |
| 4320 | 72 | 16 | 17 | 17 | 17 | 18 | 18 | 18 | 19 | 19 |
| 5760 | 96 | 17 | 17 | 17 | 18 | 18 | 18 | 19 | 19 | 19 |
| 7200 | 120 | 18 | 18 | 18 | 18 | 18 | 19 | 19 | 19 | 19 |
| 8640 | 144 | 19 | 19 | 19 | 19 | 19 | 19 | 19 | 19 | 20 |
| 10080 | 168 | 19 | 19 | 19 | 19 | 19 | 19 | 20 | 20 | 20 |

Parameter für abweichende T und D

Lokationsparameter ξ (Xi)

16,37771277

Skalenparameter α (Alpha)

5,64922999

Formparameter κ (Kappa)

-0,1

1. Koutsoyiannis-Parameter θ (Theta)

0,03381462

2. Koutsoyiannis-Parameter η (Eta)

0,76692503

Parameter für dauerstufenübergreifende Extremwertschätzung nach KOUTSOYIANNIS et al. 1998.

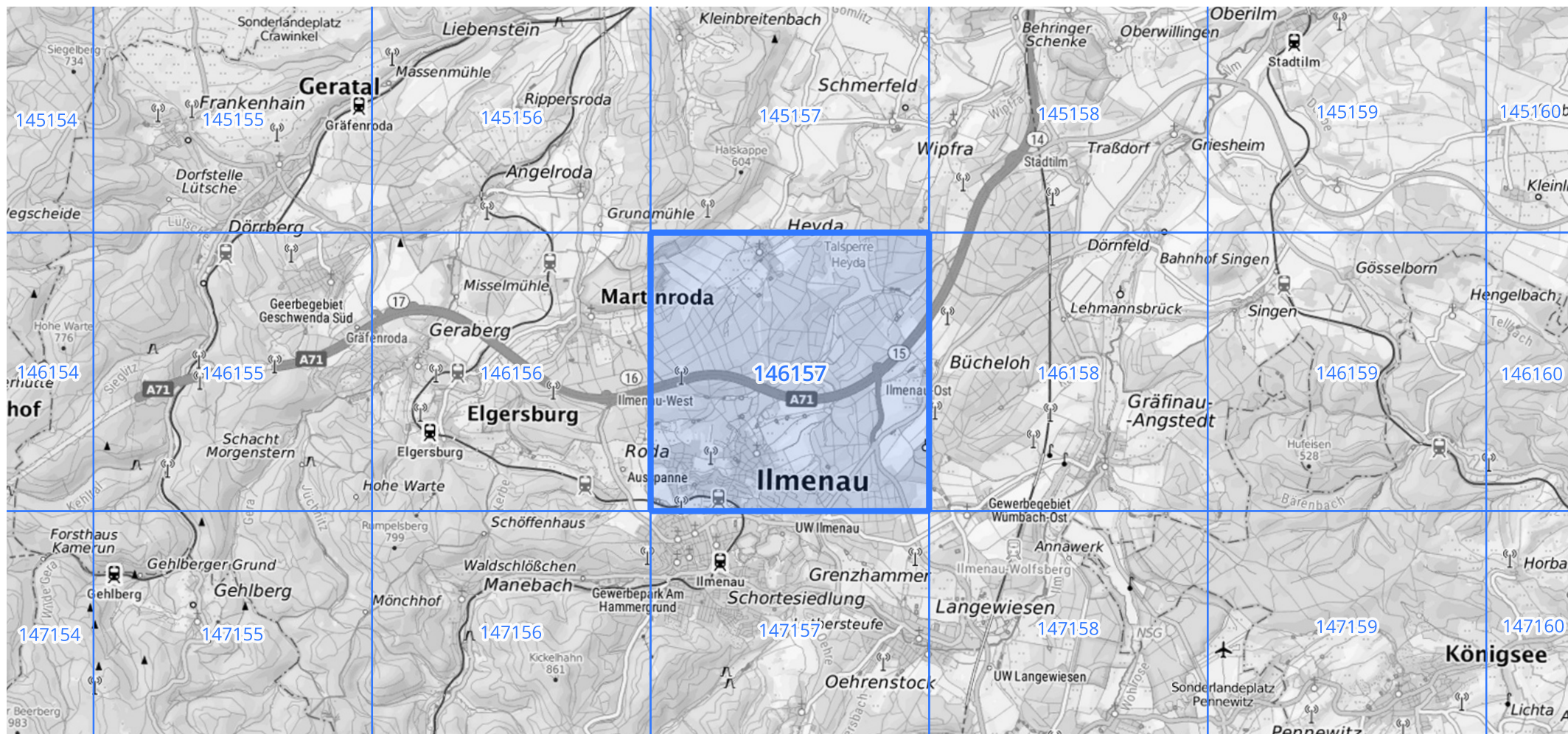
Siehe auch Anwendungshilfe zu KOSTRA-DWD-2020 des Deutschen Wetterdienstes.

Starkniederschlagshöhen und -spenden gemäß KOSTRA-DWD-2020

Rasterfeld 146157

(Zeile 146, Spalte 157)

Übersichtskarte des Rasterfeldes 146157, M 1 : 100 000



Quelle Rasterdaten: KOSTRA-DWD-2020 des Deutschen Wetterdienstes, Stand 12/2022.

Seite 3 von 3

Kartendarstellung: © Bundesamt für Kartographie und Geodäsie (2023), Datenquellen: https://sgx.geodatenzentrum.de/web_public/gdz/datenquellen/Datenquellen_TopPlusOpen.html

Für die Richtigkeit und Aktualität der Angaben wird keine Gewähr übernommen. Erstellt 01/2023.